

基于 Phong 模式的分裂 Monte Carlo 模拟 红外室内信道脉冲响应函数

张海涛 崔瑞祯 王东生 闫平 陈刚 柳强

(清华大学精密仪器与机械学系光子与电子研究中心 摩擦学国家重点实验室 北京 100084)

(2004 年 11 月 23 日收到 2005 年 2 月 28 日收到修改稿)

介绍了基于 Phong 模式的 Monte Carlo 方法. 该方法能够对红外室内通信的重要性能参数——信道脉冲响应函数进行快速有效的计算, 可应用于包括漫反射、镜面反射以及粗糙度介于这两种反射之间的表面反射情形的信道中. 相对于经典的有限元法, 在高次反射时具有更为明显的优势, 不但计算速度快, 而且计算结果也更接近真实信道环境. 该方法的使用, 能够为设计高性能红外系统提供更为可靠的参数.

关键词: 红外室内通信, 脉冲响应函数, 分裂 Monte Carlo, Phong 模式

PACC: 4230Q, 4215D, 1240E

1. 引言

作为信息载体的红外光波, 具有信道容量大、带宽宽、无需频率使用申请、抗电磁干扰能力强、相邻房间之间信号互不干扰等诸多优点, 为室内高速多媒体通信提供了一种潜在的手段^[1,2]. 红外室内通信的几乎所有计算, 包括多路径传输引起的波形畸变、误码率分析等都基于信道的脉冲响应函数, 即发射光为时间脉冲函数 $\delta(t)$ 时, 接收器接收到的光信号是时间脉冲响应函数 $h(t)$. $h(t)$ 的正确计算对于高速室内红外通信的性能预测起着至关重要的作用. 计算 $h(t)$ 的常用方法是有限元法, 主要通过将各反射表面细分成若干个足够小的单元, 按照反射次数进行迭代计算^[3,4]. 该方法计算量按照细分单元总数随反射次数呈倍数增长, 计算效率非常低. 由于信道表面的辐射模式是辐射光子的统计分布函数, 每次反射可看作二次辐射子光源, 因而 $h(t)$ 的计算可借助在随机过程中广泛使用的 Monte Carlo 方法^[5,6]来提高效率. 事实上, Lopez-Hernandez 等^[7]已证明了 Monte Carlo 方法较有限元法在 $h(t)$ 的计算中的效率优势. 但其信道模型中只考虑了用 Lambert 模式近似的漫反射和镜面反射, 并不足以囊括室内表面多样的反射特性, 所以应用范围受到限制.

2. 基于 Phong 模式的分裂 Monte Carlo (SMC) 方法

文献^[8,9]分别实验验证了 Phong 模式能够对各种反射特性进行有效近似, 包括镜面反射、漫反射以及表面粗糙度介于二者之间的反射类型. 其使用的 Phong 模式由两部分组成(如图 1 所示): 以表面法线方向 N 回转对称的漫反射部分和以镜面反射方向 S 回转对称的反射部分(又称为光泽部分), 辐射强度表达式为^[8,9]

$$I = \rho \frac{G_s}{\pi} [r_d \cos(\beta) + (1 - r_d) \cos^m(\beta - \theta)], \quad (1)$$

式中, r_d 表示信号漫反射部分占总反射光功率的比例 ($0 \leq r_d \leq 1$), G_s 为平均入射功率, ρ 为反射系数, θ 为入射角, β 为光线出射方向 E 与表面法线方向 N 的夹角, 指数 m 显示表面辐射方向性, m 越大辐射越集中在镜面反射方向, 表面光泽性就越明显. 为了使(1)式与物理意义更相符合, 本文对(1)式作了一些小的修正,

$$I = \rho \frac{G_s}{\pi} [r_d \cos(\beta) + (1 - r_d) \frac{m + 1}{2} \cos^m(\alpha)], \quad (2)$$

式中, 增加的系数 $(m + 1)/2$ 是为了使能量守恒, α 为出射方向 E 与镜面反射方向 S 的夹角, α 替换了(1)式中的 $\beta - \theta$, 将原表达式从入射平面扩展到整

个立体空间(出射方向 E 在入射平面时, $\alpha = \beta - \theta$).漫反射及标准的镜面反射分别为 $r_d = 1$ 和 $r_d = 0$ 时的 Phong 模式的特殊情形.

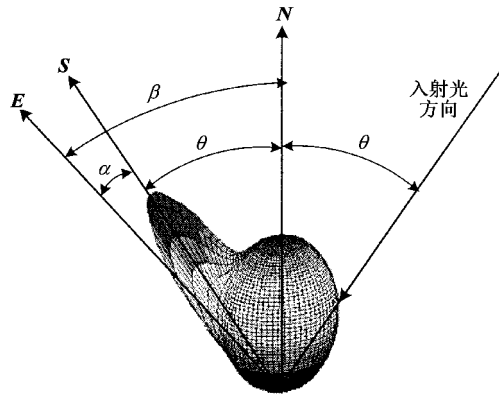


图 1 Phong 模式示意图

图 1 表明 Phong 模式没有 Lambert 模式那样的统一回转对称轴,很难如 Lopez-Hernandez^[7]那样使用一般的 Monte Carlo 方法来产生新的随机出射光线,因为“二次辐射子光源”的光线随机出射方向 E 与表面法线的夹角 β 大于某一给定角度 B 的概率 $P(\beta \geq B)$ 的表达式是一个非常复杂的三角函数,在由均匀随机函数转换成光线出射方向的过程中需解超越方程. 考察(2)式可以发现,虽然辐射强度分布没有统一的回转对称轴,但等号右端第一、第二项能够分离开来,可分别看作指数为 1 和 m 的广义 Lambert 体,其回转对称轴分别为 N 和 S . 即每条入射光线对应的出射光线分裂成两条,出射方向的概率密度分别按方向 N 和 S 回转对称. 这种基于 Phong 模式的 Monte Carlo 方法这里简称为 SMC. 下面说明其具体实施步骤.

设指数为 n 的广义 Lambert 体光线出射方向 E 的方位角为 β , 则辐射强度表达式为

$$I = \frac{n+1}{2\pi} \rho G_s \cos^n(\beta). \quad (3)$$

以入射点为坐标原点, 辐射强度回转对称轴为 z 轴, 光线出射的旋转角为 ω , 则出射光线方位角 β 大于等于 Φ 的概率为

$$P(\beta \geq \Phi) = 1 - \frac{1}{\rho G_s} \int_0^{2\pi} d\omega \int_0^{\Phi} \frac{(n+1)\rho P_s}{2\pi} \times \cos^n \beta \sin \beta d\beta = \cos^{n+1}(\Phi). \quad (4)$$

计算时假定 $P(\beta \geq \Phi)$ 是一个在 $[0, 1]$ 区间上的均匀随机数. 令 μ, ν 分别为在 $[0, 1]$ 和 $[0, 2\pi]$ 上的均匀随机数, 则 Lambert 模式随机出射光线的方向矢量

E 由 μ, ν 产生, 即

$$E = (x, y, z) = (\sqrt{1 - \frac{n+1}{\mu}} \cos(\nu), \sqrt{1 - \frac{n+1}{\mu}} \sin(\nu), \frac{1}{\sqrt{\mu}}). \quad (5)$$

然后将 E 通过坐标变换转换成室内统一坐标体系下的方向矢量 e .

利用上述广义 Lambert 体出射光线的随机产生算法, 即可对 Phong 模式近似下的信道的 $h(t)$ 用 SMC 方法进行快速计算.

设发射光源、接收器的位置矢量分别为 T, R , 表面法线方向矢量分别为 n_t, n_r . 发射光源为指数等于 n 的 Lambert 体, 总功率为 G , 接收器有效感光面积为 A_r , 视场为 F . 发射光源由 N 条随机光线组成, 由(5)式产生光线随机出射的方向矢量 e_i , 其中下标变量 i 表示第 i 条光线, 第二个下标用整数 k 标注, 表示第 k 次反射, $k=0$ 表示从发射光源出射. 按照一般的 Monte Carlo 方法, 跟踪到达接收器的那些光线行经的路程和携带的功率, 将同一时间段到达的光线功率累加, 从而得到脉冲响应函数 $h(t)$. 但这种方法由于光线在欲考察的有限次反射内, 到达接收器的概率非常小, 大约是 10^{-6} . 光线中有一条到达接收器, 所以计算上的浪费非常惊人. 不过, 若在发射器随机产生光线前, 先计算发射器通过直接链路到达接收器的概率 P_o , 可以使计算效率大为提高. 其中

$$P_o = \frac{n+1}{2\pi} \left(\frac{R - T}{|R - T|} \cdot n_t \right)^n \frac{A_r n_r \cdot (T - R)}{|R - T|^3} \times \text{rect} \left[\frac{1}{F} \arccos \left(\frac{T - R}{|T - R|} \cdot n_r \right) \right], \quad (6)$$

式中 $\text{rect}(x)$ 表示矩形函数, 当 $|x| \leq 1/2$ 时, $\text{rect}(x) = 1$, 其余为零. 接收器接收到的直接来自发射器的光功率为 $G \cdot P_o$.

接着再产生随机发射光线, 每条光线携带的功率应为 $(1 - P_o)N$, 为简化计算, 可近似取 G/N . 这种处理会使 $h(t)$ 值偏大, 而且误差会随着发射次数的增加而增加. 但由于 P_o (一般为 10^{-6} 的数量级) 很小, 且光线功率以各次反射系数的乘积为倍数, 衰减随反射次数增加而增大, 所以这个误差基本可以忽略不计. 发射光线到达 Phong 模式的反射表面后, 分裂成两条出射光线, 出射方向均按(5)式产生, 只是 z 轴的方向分别为 N 和 S , 前者表示漫反射部分, 在(5)式中取 $n = 1$, 携带功率为总出射功率的 r_d 倍; 后者表示光泽部分, 在(5)式中取 $n = m$, 携带功率为总出射功率的 $(1 - r_d)$ 倍. 最后将各自产生的出

射矢量 E 分别变换到统一坐标体系中.

用 P_{ik} 表示光线 i 在第 k 次反射时与表面交点的位置矢量, 设反射系数为 ρ_{ik} , 随机出射方向矢量为 e_{ik} 则有

$$P_{ik} = P_{\lfloor i/2^k \rfloor k-1} + l e_{\lfloor i/2^k \rfloor k-1}$$

$$(i = 1, 2, \dots, 2^{k-1}N; k = 1, 2, \dots, K, P_{i0} = T) \quad (7)$$

式中 $\lfloor \cdot \rfloor$ 表示向正无穷方向取整. 光线在每次反射后都一分为二, 所以第 k 次反射后的光线总数变为 $2^k N$, 参量 $|l|$ 表示 P_{ik} 与 $P_{\lfloor i/2^k \rfloor k-1}$ 的距离, 将(7)式代入室内各反射平面甚至曲面方程, 即可解得一组 l 的值. 最小的正 l 是光线在第 $k-1$ 次与第 k 次反射之间所行经的距离. 利用 $P_{i0} = T$ 和 e_{i0} 的初始条件以及(5)式可递推出光线各次随机反射时的位置矢量 P_{ik} . 令 $d_{ik} = R - P_{ik}$, P_{ik} 处的表面法线方向矢量为 n_{ik} . 若 $|d_{ik}|^2 \gg A_R$ 时, 则光线 i 在第 k 次反射时通过直接链路到达接收器的概率 $P(i, k)$ 为

$$P(i, k) = \frac{1}{2\pi} \left[2r_d \left(\frac{d_{ik} \cdot n_{ik}}{|d_{ik}|} \right) + (1 - r_d) \chi_{m+1} \right]$$

$$L_{ik} = \begin{cases} |P_{ik} - T| + |d_{ik}| & (k = 1), \\ |P_{\lfloor i/2^{k-1} \rfloor} - T| + \sum_{j=2}^k |P_{\lfloor i/2^{k-j} \rfloor j} - P_{\lfloor i/2^{k-j+1} \rfloor j-1}| + |d_{ik}| & (k = 2, 3, \dots, K). \end{cases} \quad (11)$$

房间的各种反射表面都可由各种参数的 Phong 模式表示, 则经过 K 次反射后的脉冲响应函数为

$$h(t) = GP_o \delta \left(t - \frac{|R - T|}{c} \right) + \sum_{k=1}^K h_k(t), \quad (12)$$

式中, $h_k(t)$ 表示各次反射对应的脉冲响应曲线, c 为光在空气中的速度.

$$h_k(t) = \sum_{i=1}^{2^{k-1}N} G_{ik} P(i, k) \delta \left(t - \frac{L_{ik}}{c} \right).$$

信道表面若均为漫反射或者镜面反射, 只需将(8) (10)式中 $P(i, k)$ 和 G_{ik} 的表达式取成 $r_d = 1$ 或 $r_d = 0$ (12)式中的变量 i 取值区间变为 $[1, N]$. 若 $0 < r_d < 1$, 则计算量将为 $r_d = 0, 1$ 时的 $(2^K - 1)K$ 倍. 如 $K = 4$ 时, 为 7.5 倍, 不过其高效性仍是有限元法无法比拟的.

$$\times \left(\frac{d_{ik} \cdot S_{ik}}{|d_{ik}|} \right)^m \left[\frac{A_R (-d_{ik} \cdot n_r)}{|d_{ik}|^3} \right. \\ \left. \times \text{rect} \left[\frac{1}{F} \arccos \left(\frac{-d_{ik} \cdot n_r}{|d_{ik}|} \right) \right] \right]$$

$$(i = 1, 2, \dots, 2^{k-1}N; k = 1, 2, \dots, K), \quad (8)$$

式中 S_{ik} 表示光线 i 在第 k 次反射时的镜面反射方向,

$$S_{ik} = e_{\lfloor i/2^k \rfloor k-1} - \mathcal{A} [e_{\lfloor i/2^k \rfloor k-1} \cdot n_{ik}] \cdot n_{ik}. \quad (9)$$

另外, 当 $k = 1$ 时, P_{ik} ($i = 1, 2, \dots, N$) 处的总出射功率 G_{i1} 为

$$G_{i1} = \frac{G}{N} \rho_{i1}. \quad (10a)$$

当 $k = 2, 3, \dots, K$ 时, P_{ik} ($i = 1, 2, \dots, 2^{k-1}N - 1$) 处的总出射功率为

$$G_{ik} = \rho_{ik} G_{\lfloor i/2^k \rfloor k-1} \cdot (r_d \chi_{i/2^k \rfloor k-1}), \quad (10b)$$

$$G_{(i+1)k} = \rho_{(i+1)k} G_{\lfloor i/2^k \rfloor k-1} \cdot [1 - (r_d \chi_{i/2^k \rfloor k-1})]. \quad (10c)$$

光线从发射开始经 k 次反射后到达接收器行经的路程 L_{ik} ($i = 1, 2, \dots, 2^{k-1}N$) 为

3. 计算结果

使用 SMC 方法对比考察两种近似信道结构 A 和 B. 结构 A 的信道参数为: 房间大小为 $10 \text{ m} \times 10 \text{ m} \times 3 \text{ m}$, 以地板的一个墙角为坐标原点, 地板长度方向、宽度方向分别为 x, y 轴, 房间的高度方向为 z 轴, 则 $T = (5.0 \text{ m} \ 5.0 \text{ m} \ 3.0 \text{ m})$, $n_t = (0, 0, -1)$, $R = (2.5 \text{ m} \ 2.5 \text{ m} \ 0.0 \text{ m})$, $n_r = (0, 0, 1)$, 发射、反射均为指数 1 的 Lambert 体, 各墙壁表面的反射系数为 0.8. 另外, $F = 180^\circ$, $A_R = 1 \text{ cm}^2$, $G = 1 \text{ W}$, $\tau = 0.2 \text{ ns}$. 结构 B 除了天花板为反射系数 0.8, $r_d = 0.001$, $m = 280$ 的玻璃外, 其余参数与结构 A 同.

图 2 是结构 A 的计算结果. 该结果与有限元法得到的结果^[10]一致. 图 2(a) 示出接收器检测到的从发射光源直接照射的光功率及第 1、第 2、第 3、第 4 次反射时的光功率与 $h(t)$ 功率总和的比值 γ (分别

为 49.34% , 3.98% , 25.47% , 9.12% , 12.08%) 以及功率曲线 , 由于各墙的反射系数均为 0.8 , 以至于第 3 、第 4 次反射贡献的功率仍占较大的比重 , 甚至都大于第 1 次反射贡献的功率 . 图 2(b) 示出不同总反射次数 K 对应的 $h(t)$ 曲线 , 可以看出 , K 越大 $h(t)$ 覆盖的时间范围就越宽 . 图 2(c) 是图 2(b) 中各 $h(t)$ 对应的频谱响应幅值 , $K=2, 3, 4$ 时 , 频率越高响应幅度差别就越小 , 意即高次反射的影响主要集中在

低频部分 . 图 2(d) 是将不同 K 值下的频谱分别按照各自的零频归一化后的幅值曲线 , 信道的 -3dB 带宽在 $K=1$ 时已经超过本图显示范围 , $K=2, 3, 4$ 时分别为 10.8, 6, 7 MHz . 由此可知 , 反射次数如果取得不够高 , 信道带宽的估计将会偏大 . 随反射次数按 2 的倍数增长的 SMC 方法相对按有限元总数的倍数增长的有限元法 , 将随着反射次数的增加 , 计算效率具有更明显的优势 .

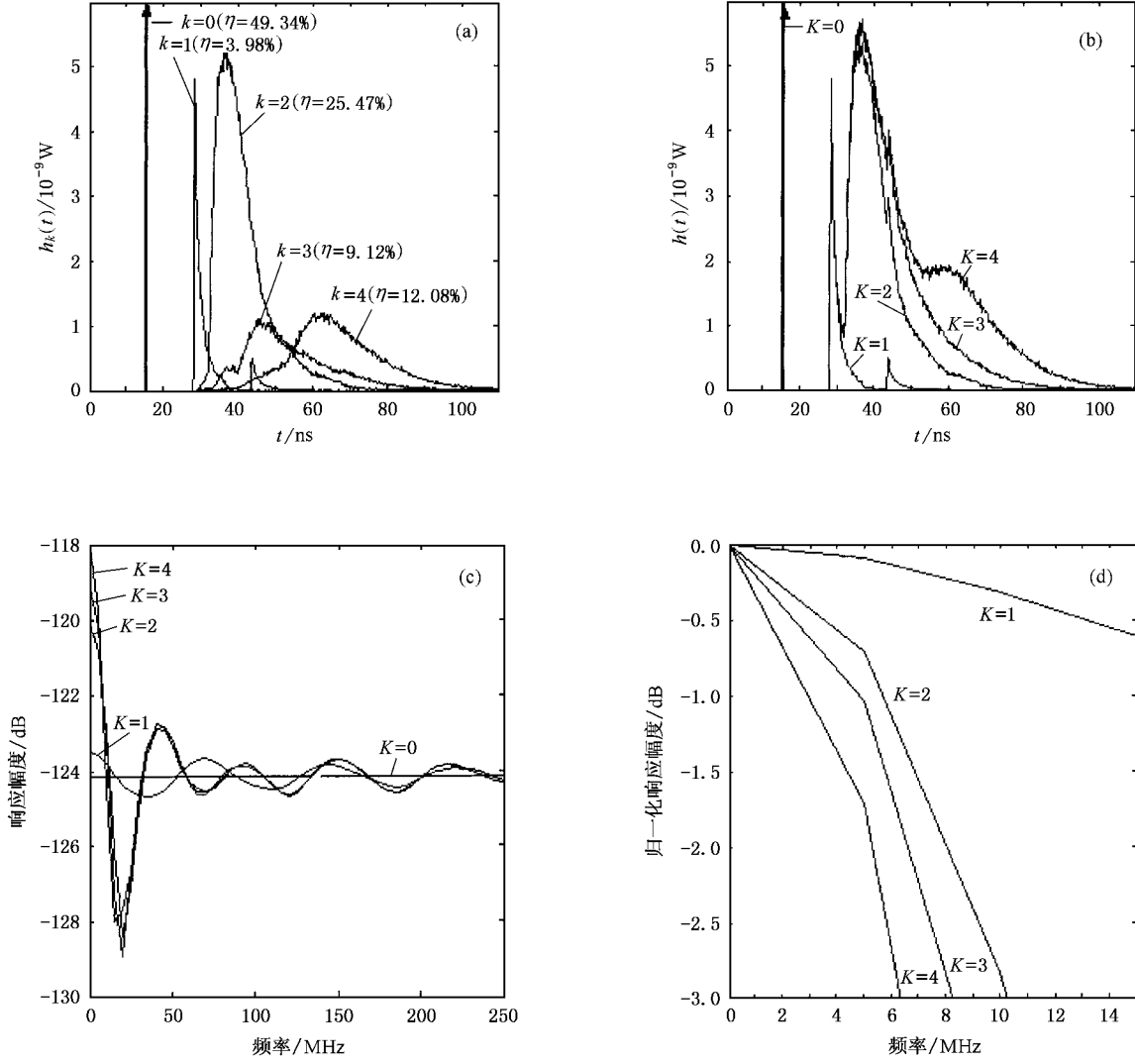


图 2 结构 A 计算结果 (a) 为各次反射对 $h(t)$ 的贡献 (b) 为取不同的总反射次数 K 时的 $h(t)$ (c) 为 (b) 中各 $h(t)$ 对应的频谱 , (d) 为归一化频谱

图 3 是结构 B 的计算结果 . 图 3(a) 是 $k=0—4$ 时的 η 值及贡献 $h(t)$ 的功率曲线 . 图 3(b) 是 K 取 4 时 , 结构 A 和结构 B 的 $h(t)$ 曲线比较 . 从图 3(b) 可以看出 , 由于天花板不参与第 1 次反射的贡献 , 所以两条曲线在大约 35 ns 以前是重合的 , 第 2 次以后的反射 , 由于结构 B 的天花板的镜面反射部分很强 ,

所以曲线不像结构 A 那样光滑 , 且两条曲线在除直接链路外的第二个峰值处差别明显 . 图 3(c) 是不同 K 值下的 $h(t)$ 对应的频谱响应幅值曲线 , 高次反射的影响仍然集中在低频部分 . 图 3(d) 是不同 K 值下按零频归一化后的频谱 , -3dB 带宽在 $K=1$ 时超过本图读出范围 , $K=2, 3, 4$ 时分别为 11.9, 7, 7 MHz . 结

构 B 只有一个非 Lambert 反射表面, 结论就与结构 A 明显不同. 由此可看出使用 Phong 模式近似反射特性的重要性, 如果不考虑实际表面的各种反射特性

而简单地用 Lambert 模式近似, 就会失去理论预测的真正意义.

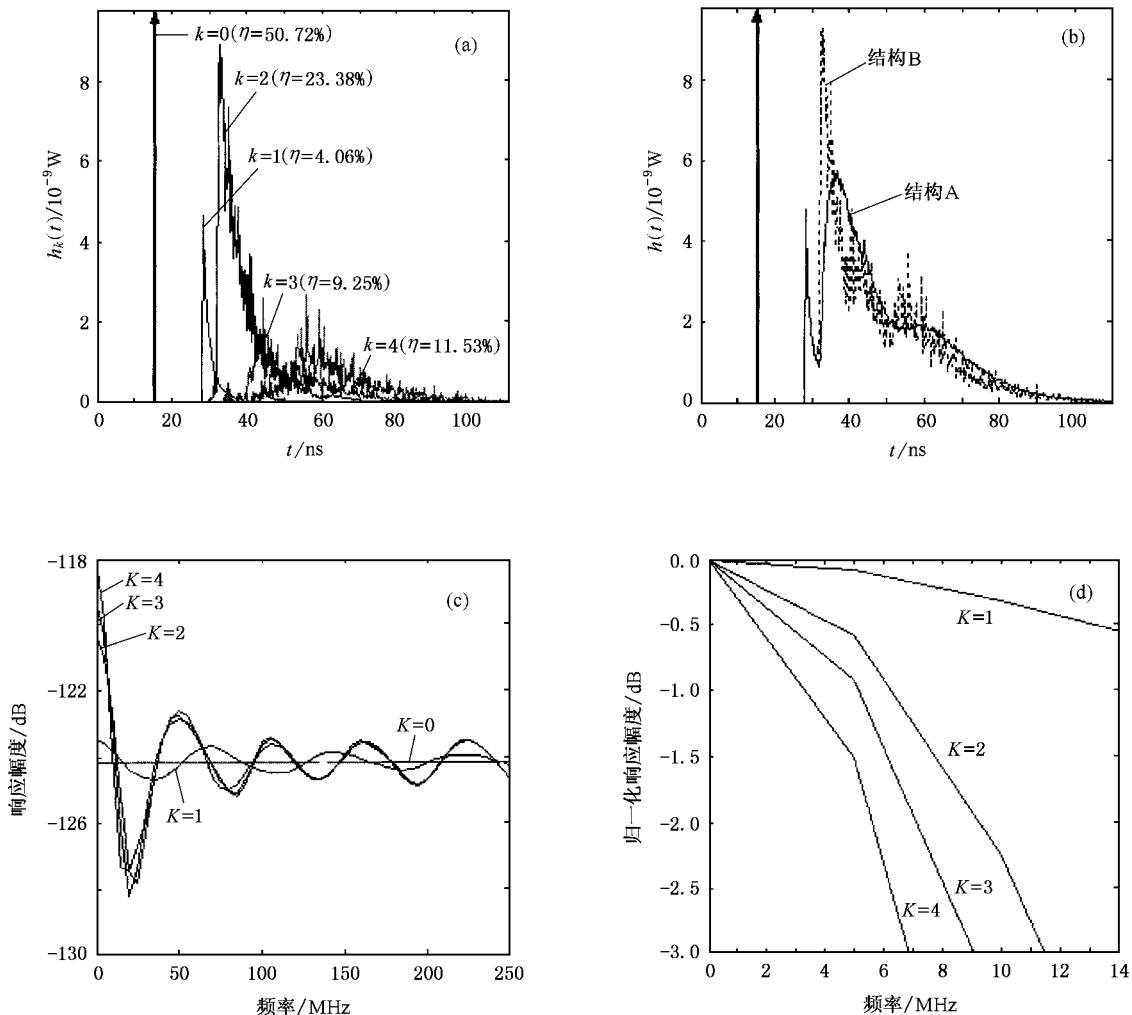


图 3 结构 B 计算结果 (a) 为各次反射对 $h(t)$ 的贡献 (b) 为与结构 A 的 $h(t)$ 比较 ($K=4$) (c) 为取不同的总反射次数 K 时的 $h(t)$ 对应的频谱 (d) 为归一化频谱

4. 结 论

模拟脉冲响应函数的准确程度, 取决于模型的信道光学特性与实际相符的程度. Phong 模式能够较全面地描述各种室内信道表面的反射特性, 包括漫反射、镜面反射以及介于二者之间的光泽表面的

反射情形, 能够较真实地模拟现实室内红外通信环境. 基于 Phong 模式, 采用 SMC 方法能够快速完成信道脉冲响应函数的计算, 为进一步的通信性能评估和预测提供可靠的基础. 文中发射光源假设的是广义 Lambert 体, 实际使用时并不局限于此, 对于高斯分布、均匀分布等发射光源可用类似的方法计算.

[5] Liu Z L , Zhang X F , Yao K L *et al* 2004 *Chin . Phys .* **13** 2115

[6] Wang W M , Niu Y C , Chen J H *et al* 2004 *Chin . Phys .* **13** 1520

[7] Lopez-Hernandez F J , Perez-Jimenez R , Santamaria A 2000 *Opt . Eng .* **39** 2775

[8] Lomba C R , Valadas R T , Oliveira Duarte A M 1998 *IEE P-Optoelectron .* **145** 191

[9] Yang H , Lu C 2000 *IEE P-Optoelectron .* **147** 301

[10] Wong K K , O 'Farrell T *The 11th IEEE International Symposium on Indoor and Mobile Radio Communications* (Vol. 2) (New York : IEEE) p933

Split Monte Carlo for impulse responses on the infrared indoor channels on the basis of Phong 's model

Zhang Hai-Tao Cui Rui-Zhen Wang Dong-Sheng Yan Ping Chen Gang Liu Qiang

(State Key Laboratory of Tribology , Center for Photonics and Electronics , Department of Precision Instruments

and Mechanology , Tsinghua University , Beijing 100084 , China)

(Received 23 November 2004 ; revised manuscript received 28 February 2005)

Abstract

A split Monte Carlo (SMC) algorithm , based on the Phong 's model , for the estimation of the impulse response on the infrared indoor channels is presented. It can be applied to the indoor channel including various reflection patterns , including diffuse , mirror and other non-Lambert reflections. The simulation of the indoor optical channel by SMC method based on the Phong 's model can benefit significantly the design of high performance infrared systems . The calculation is much faster than the classical deterministic method , and the speed advantage is more obvious at a large number of reflections .

Keywords : infrared indoor channel , impulse response , split Monte Carlo , Phong 's model

PACC : 4230Q , 4215D , 1240E